



## Original Article

## บทวิทยาการ

# ความชุกและตำแหน่งของคลองท้ายฟันกรรมล่าง ในภาพรังสีโคนบีมซีทีในผู้ป่วยชาวไทยในศูนย์ ภาพถ่ายรังสีเอกซ์เรย์ห้องน้ำในกรุงเทพมหานคร

อาทิพันธุ์ พิมพ์ขาวชำ ท.บ. Ph.D. อ.ท. (ศัลยศาสตร์ช่องปากและแม็กซิลโลเฟเชียล)<sup>1</sup>

เกศกัญญา สัพพะเลข ท.บ. Ph.D. อ.ท. (ศัลยศาสตร์ช่องปากและแม็กซิลโลเฟเชียล)<sup>1</sup>

ณัฐภรณ์ ประวิตราง្យรุ<sup>2</sup>

ศิริพิมพ์ เศรษฐชัยกุล<sup>2</sup>

<sup>1</sup>ภาควิชาศัลยศาสตร์ คณะทันตแพทยศาสตร์ จุฬาลงกรณ์มหาวิทยาลัย

<sup>2</sup>นิสิต คณะทันตแพทยศาสตร์ จุฬาลงกรณ์มหาวิทยาลัย

## บทคัดย่อ

การวิจัยนี้มีวัตถุประสงค์เพื่อศึกษาความชุกและตำแหน่งของคลองท้ายฟันกรรมล่างในผู้ป่วยชาวไทยในศูนย์ภาพถ่ายรังสีเอกซ์เรย์ห้องน้ำในกรุงเทพมหานคร โดยใช้ภาพรังสีโคนบีมซีทีที่ครอบคลุมบริเวณท้ายฟันกรรมล่าง ตั้งแต่ปี พ.ศ. 2553-ปี พ.ศ. 2554 ทำการตรวจหาคลองท้ายฟันกรรมล่างด้วยโปรแกรมวัน วอลลุ่ม วิวเวอร์ หาค่าเฉลี่ยของระยะห่างระหว่างรูเปิดคลองท้ายฟันกรรมล่างกับคลองขากรรไกรล่าง แผ่นกระดูกด้านแก้ม แผ่นกระดูกด้านลิ้น และด้านไกกลกลางของฟันกรรมซึ่งส่อง วิเคราะห์ความสมพันธ์ระหว่างจำนวนคลองท้ายฟันกรรมล่างที่พบกับเพศและข้างของกระดูกขากรรไกรโดยสถิติการทดสอบของพิชเซอร์ มีภาพที่ครอบคลุมบริเวณท้ายฟันกรรมล่างจำนวน 64 ภาพ พบคลองท้ายฟันกรรมล่าง 8 ภาพ คิดเป็นร้อยละ 12.5 พบระยะห่างระหว่างรูเปิดคลองท้ายฟันกรรมซึ่งส่อง วิเคราะห์ความสมพันธ์ระหว่างจำนวนคลองท้ายฟันกรรมล่าง กับด้านไกกลกลางของฟันกรรมซึ่งส่อง มีค่าเฉลี่ยเท่ากับ 15.90 มิลลิเมตร โดยไม่พบความแตกต่างอย่างมีนัยสำคัญระหว่างเพศ และระหว่างขากรรไกรข้างซ้ายและขวา ( $p > 0.05$ ) จากการศึกษานี้พบว่า ถึงแม้ว่าความชุกในผู้ป่วยที่ถ่ายภาพรังสีที่ศูนย์ภาพถ่ายรังสีแห่งหนึ่งใน กทม. ที่พบคลองท้ายฟันกรรมล่างค่อนข้างตื้น (ร้อยละ 12.5) การผ่าตัดบริเวณท้ายฟันกรรมล่างควรตระหนักถึงความผันแปรที่สำคัญนี้ด้วย

(วทันต จุฬาฯ 2558;38:105-116)

**คำสำคัญ:** คลองขากรรไกรล่าง; คลองท้ายฟันกรรมล่าง; รูเปิดคลองท้ายฟันกรรมล่าง

## บทนำ

ในการทำศัลยกรรมซึ่งปากที่มีความเกี่ยวข้องกับบริเวณท้ายฟันกรามล่าง ไม่ว่าจะเป็นการผ่าตัดใหญ่ เช่น การผ่าตัดเลื่อนขากรรไกรล่าง (bilateral sagittal split ramus osteotomy, BSSRO) หรือการผ่าตัดเล็ก เช่น การปลูกกระดูกจากบริเวณขากรรไกรล่างส่วนท้ายฟันกรามเพื่อการฟังรากเทียม<sup>1</sup> หรือการผ่าฟันคุด ฯลฯ อาจพบภาวะแทรกซ้อนต่างๆ เช่น ความล้มเหลวในการฉีดยาชาสะกดประสาทแม่นดิบิวลาร์ (mandibular nerve block) อาการชาหรือการมีเลือดออกมากกว่าปกติภายหลังการผ่าตัด<sup>2</sup> ซึ่งสาเหตุของการเกิดอาการต่างๆ ดังกล่าว มีได้หลายอย่าง เช่น การฉีดยาชาไม่ถูกตำแหน่ง การผ่าตัดที่รุนแรงกระทบกระเทือนต่อกล่องขากรรไกรล่าง (mandibular canal) หรือแม้แต่การมีความผันแปรทางกายวิภาคบริเวณท้ายฟันกรามล่าง ซึ่งภาวะแทรกซ้อนต่างๆ เหล่านี้ อาจส่งผลให้คุณภาพชีวิตของผู้ป่วยหลังผ่าตัดลดลงจนนำไปสู่อาการซึมเศร้าได้

คลองท้ายฟันกรามล่าง (retromolar canal) เป็นความผันแปรทางกายวิภาค ซึ่งพบได้บริเวณท้ายฟันกรามล่าง โดยแตกแขนงออกจากคลองขากรรไกรล่าง ภายในประกอบด้วยเส้นเลือดและเส้นประสาทที่ไปเลี้ยงฟันและเนื้อเยื่อบริเวณดังกล่าว<sup>3</sup> จากการศึกษาพบความพิเศษใน การศึกษาคลองท้ายฟันกรามล่างด้วยวิธีต่างๆ เช่น จากกะโหลกศีรษะแห้ง<sup>4-7</sup> ภาพเอ็มอาร์ (magnetic resonance imaging, MRI)<sup>8</sup> ศพ (fresh cadaver)<sup>9</sup> หรือภาพรังสีคอนบีมซีที (cone beam-CT)<sup>10</sup> อายุ่รากตาม การศึกษาคลองท้ายฟันกรามล่างด้วยกะโหลกศีรษะแห้งหรือศพนั้นทำได้ค่อนข้างยาก และเนื่องจากยังพบการศึกษาคลองท้ายฟันกรามล่างด้วยภาพรังสีคอนบีมซีทีน้อย นอกจานั้นมีความพยายามศึกษาความซุกที่พบคลองท้ายฟันกรามล่างในกลุ่มประชากรเชื้อชาติต่างๆ ด้วยวิธีที่แตกต่างกัน ได้แก่ ชาวบราซิล ร้อยละ 12.9<sup>6</sup> ชาวญี่ปุ่น ร้อยละ 19.5<sup>3</sup> ชาวอินเดีย ร้อยละ 17.3<sup>7</sup> และในชาวอินเดียได้ ร้อยละ 21.9<sup>11</sup> แต่ยังไม่มีรายงานการศึกษานี้ในประชากรไทย อีกทั้งยังไม่เคยพบรายงานในกลุ่มตัวอย่างคนไทย

ดังนั้นวัตถุประสงค์ของการศึกษานี้ คือ เพื่อที่จะศึกษาความซุก ตำแหน่ง และความล้มพันธุ์ของคลองท้ายฟันกรามล่างกับภัยวิภาคที่สำคัญ จากรายงานสีคอนบีมซีทีในผู้ป่วยชาวไทยในศูนย์ภาพถ่ายรังสีเอกซ์เรย์หนึ่งแห่งใน กทม. นอกจาก

นี้ยังจะศึกษาถึงความสัมพันธ์ของคลองท้ายฟันกรามล่างกับตัวแปรที่เกี่ยวข้อง เช่น เพศ และข้างของขากรรไกร

## วัสดุและวิธีการ

### วัสดุ

นำข้อมูลภาพรังสีคอนบีมซีทีของผู้ป่วยที่มาถ่ายภาพเพื่อการวางแผนฟังรากฟันเทียมในบริเวณใกล้เคียงมาใช้ในการศึกษา ผู้ป่วยแต่ละคนได้รับการถ่ายภาพรังสีด้วยเครื่องคอมพิวเตอร์ในบริษัทโมริตะ จำกัด ประเทศญี่ปุ่น (Acuitomo, Morita Co. Ltd., Japan) ที่พื้นที่การเห็นภาพ (Field of View, FOV) 60 x 60 มิลลิเมตร และ voxel size เท่ากับ 125 ไมโครเมตร ตั้งค่าที่ 80 kVp และ 50 mA ตั้งเวลาในการถ่ายภาพ 11.5 วินาที

การนำภาพรังสีคอนบีมซีทีดังกล่าวมาศึกษา ได้รับการอนุญาตจากศูนย์ภาพถ่ายรังสีเอกซ์เรย์ที่ไม่เปิดเผย ข้อมูลของกลุ่มตัวอย่างแก่ผู้ทำการวิจัย การศึกษาครั้งนี้ได้ทำการรวบรวมภาพรังสีคอนบีมซีที ตั้งแต่ปี พ.ศ. 2553 ถึงปี พ.ศ. 2554 โดยนำภาพรังสีที่ได้มาคัดเลือกตามหลักเกณฑ์คัดเข้าดังนี้

1. เป็นภาพรังสีคอนบีมซีทีในคนไทย

2. ครอบคลุมบริเวณฟันกรามล่างซี่ที่ 2 ถึงขอบหลังของกระดูกขากรรไกรล่าง

3. มีอายุระหว่าง 20-70 ปี

หลังทำการคัดเลือกภาพรังสีตามหลักเกณฑ์ดังกล่าว ทางคณะผู้วิจัยได้ประสานงานให้ศูนย์ภาพถ่ายรังสีเอกซ์เรย์ทำการส่งแบบสอบถามประวัติไปยังกลุ่มตัวอย่างที่ได้รับการคัดเลือกเพื่อเก็บข้อมูลและจำแนกตามหลักเกณฑ์คัดออกได้แก่ กลุ่มตัวอย่างที่มีประวัติดังต่อไปนี้

1. เคยมีกระดูกขากรรไกรล่างหักในบริเวณที่ทำการศึกษา

2. เคยทำการผ่าตัดบริเวณขากรรไกรล่าง

3. เป็นผู้ป่วยในกลุ่มอาการบริเวณกะโหลกศีรษะและใบหน้าผิดปกติ เช่น ปากแหว่ง เพดานไหว

จากเกณฑ์คัดเข้าและคัดออกดังกล่าว จึงได้ภาพรังสี 64 ภาพ จากผู้ป่วย 64 ราย มาทำการศึกษา

## วิธีการ

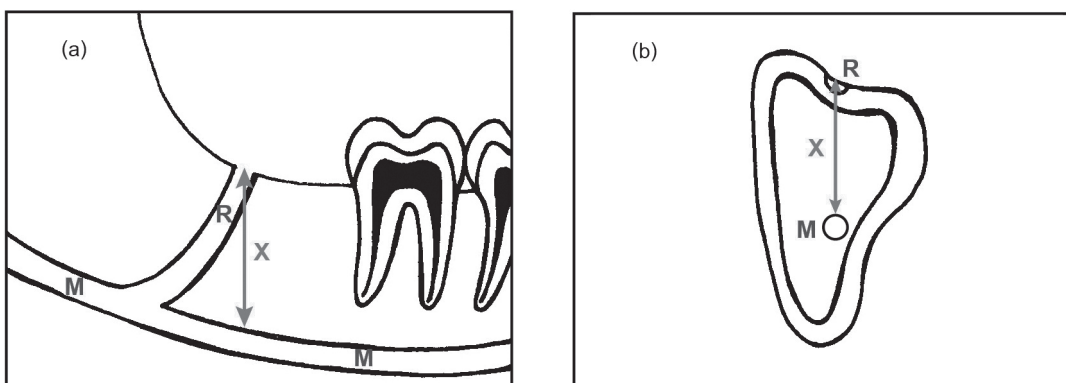
นำข้อมูลภาพรังสีก่อมตัวอย่างที่ผ่านการคัดเลือกมาหาญเปิดคลองท้ายพันกรรมล่าง (retromolar foramen) โดยใช้โปรแกรมวัน วอลลูม วิวเวอร์ (One Volume Viewer) โดยรูดังกล่าวต้องมีขนาดมากกว่า 0.5 มิลลิเมตร ขึ้นไป และคลองท้ายพันกรรมล่างมีความต่อเนื่องไปกับคลองขากรรไกรล่างจากนั้นทำการจำแนกประเภทของรูปแบบคลองท้ายพันกรรมล่างที่พบ และนำมาหารค่าร้อยละที่ต้องการศึกษา โดยทำการวัดระยะที่กำลังขยาย 200 เท่า ซึ่งค่าที่วัดประกอบด้วย

ระยะห่างระหว่างรูเปิดคลองท้ายพันกรรมล่างกับคลองขากรรไกรล่างในแนวตั้ง (ตั้ง) ทำการวัดโดยลากเส้นตั้งฉากกับแนวระนาบ จากกึ่งกลางขอบของรูเปิดคลองท้ายพัน

กรรมล่างไปยังขอบของคลองขากรรไกรล่างในภาพตัดแบ่งชั้ยขวา (sagittal view) (รูปที่ 1a) ในกรณีที่ไม่สามารถเห็นรูเปิดในภาพตัดแบ่งชั้ยขวา ให้วัดที่ภาพตัดขวาง (cross-sectional view) (รูปที่ 1b) แทน

ระยะห่างระหว่างรูเปิดคลองท้ายพันกรรมล่างกับแผ่นกระดูกด้านแก้มและด้านลิ้น ทำการวัดโดยลากเส้นขนานกับแนวระนาบที่ภาพตัดขวาง จากกึ่งกลางรูเปิดคลองท้ายพันกรรมล่างไปยังเส้นสัมผัสแผ่นกระดูกด้านแก้มและด้านลิ้น ส่วนที่หนาที่สุดตามลำดับ (รูปที่ 2)

ระยะห่างระหว่างรูเปิดคลองท้ายพันกรรมล่างกับด้านใกล้กลางของพันกรรมซี่ที่สอง ทำการวัดโดยลากเส้นขนานกับแนวระนาบในภาพตัดแบ่งชั้ยขวา จากกึ่งกลางรูเปิด

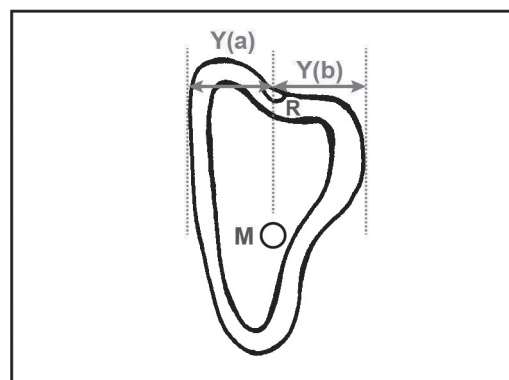


รูปที่ 1 แสดงการวัดระยะห่างจากรูเปิดคลองท้ายพันกรรมล่างถึงคลองขากรรไกรล่าง (X)

M = คลองขากรรไกรล่าง R = คลองท้ายพันกรรมล่าง (a) ในภาพตัดแบ่งชั้ยขวา และ (b) ในภาพตัดขวาง

Fig. 1 Linear measurement from the retromolar foramen to the mandibular canal (X)

M = mandibular canal R = retromolar canal (a) Sagittal view and (b) Cross-sectional view



รูปที่ 2 แสดงการวัดระยะห่างจากรูเปิดคลองท้ายพันกรรมล่างถึงแผ่นกระดูกด้านแก้ม Y(a) และแผ่นกระดูกด้านลิ้น Y(b)

M = คลองขากรรไกรล่าง R = คลองท้ายพันกรรมล่าง

Fig. 2 Linear measurement from the retromolar foramen to buccal bone plate Y(a) and lingual bone plate Y(b)

M = mandibular canal R = retromolar canal

คลองท้ายพันกรรมล่างถึงด้านไกลกลางของพันกรรมซี่ที่สอง หรือพันซี่สุดท้ายที่มีอยู่ในขากรรไกรที่บริเวณรอยต่อเคลือบฟัน กับเคลือบรากฟัน (cemento-enamel junction) และเพื่อให้สามารถคำนวณหาระยะห่างระหว่างรูเปิดของคลองท้ายพันกรรมล่างกับด้านไกลกลางของพันกรรมซี่ที่สอง ในกรณีที่ผู้ป่วยไม่มีพันกรรม หรือพันกรรมน้อย ให้ใช้ระยะความกว้างในแนวใกล้กลาง-ไกลกลางของพันกรรมและพันกรรมน้อยเท่ากับ 10 และ 7 มิลลิเมตร แทนตามลำดับ<sup>12</sup> (รูปที่ 3)

นำข้อมูลที่ได้มาคำนวณหาความชุกในผู้ป่วยที่พบรูเปิดคลองท้ายพันกรรมล่าง และหาค่าเฉลี่ยของระยะห่างระหว่างรูเปิดคลองท้ายพันกรรมล่างกับคลองขากรรไกรล่างในแนวตั้ง (แทนด้วย X) ระยะห่างระหว่างรูเปิดคลองท้ายพันกรรมล่าง กับแผ่นกระดูกด้านแก้มและด้านลิ้น (แทนด้วย Y) และ ระยะห่างระหว่างรูเปิดคลองท้ายพันกรรมล่างกับด้านไกลกลาง ของพันกรรมซี่ที่สอง (แทนด้วย Z) โดยใช้สูตรดังต่อไปนี้

- ความชุกในผู้ป่วยที่พบรูเปิดคลองท้ายพันกรรมล่าง

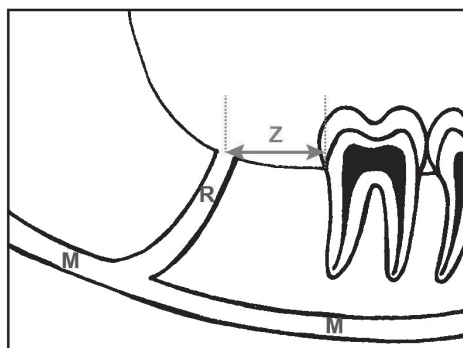
$$= \frac{\text{จำนวนภาพที่พบรูเปิดคลองท้ายพันกรรมล่าง}}{\text{จำนวนภาพทั้งหมด}}$$

- ค่าเฉลี่ยของระยะห่าง X, Y, Z

$$= \frac{\sum_{i=1}^n X_i, Y_i, Z_i}{n}$$

(n คือ จำนวนภาพที่พบรูเปิดคลองท้ายพันกรรมล่าง)

นอกจากนี้นำข้อมูลที่ได้มาวิเคราะห์เชิงสถิติด้วยโปรแกรม สำเร็จรูปエสพีเอสดอกซ์ สำหรับวินโดว์ เวอร์ชัน 16.0 (SPSS for Windows, version 16.0) โดยวิเคราะห์หาความแตกต่างในการพบรูเปิดคลองท้ายพันกรรมล่างระหว่างเพศและข้าง ของขากรรไกร ด้วยการทดสอบของฟิชเชอร์ (Fisher's exact test) ที่ระดับนัยสำคัญ 0.05



รูปที่ 3 แสดงการวัดระยะห่างจากรูเปิดคลองท้ายพันกรรมล่างถึงด้านไกลกลางของพันกรรมซี่ที่สอง (Z) M = คลองขากรรไกรล่าง R = คลองท้ายพันกรรมล่าง

**Fig. 3** Linear measurement from the retromolar foramen to the distal surface of the second molar (Z); M = mandibular canal; R = retromolar canal

การศึกษาครั้งนี้ได้ผ่านการรับรองจากคณะกรรมการพิจารณาจริยธรรมการวิจัยในมนุษย์ของคณะทันตแพทยศาสตร์ จุฬาลงกรณ์มหาวิทยาลัย ได้ใบรับรองเลขที่ 71/2011 โดยกลุ่มตัวอย่างทุกคนรับทราบถึงวัตถุประสงค์ และขั้นตอนในการศึกษาวิจัยครั้งนี้ และยินยอมเข้าร่วมการวิจัยด้วยความสมัครใจ โดยสามารถเลิกคำยินยอมการเข้าร่วมวิจัยเมื่อใดก็ได้

## ผลการศึกษา

จากการสำรวจภาพรังสีโคนบีมซีทีในคนไทยกลุ่มนี้ โดยไม่เปิดเผยข้อมูลตัวอย่างกรณีศึกษาแก่ผู้ทำการวิจัย คัดเลือกตามเกณฑ์คัดเข้าและคัดออก พบร่วมภาพรังสีที่เข้าเกณฑ์เพียง 64 ภาพ เป็นของผู้ป่วยชาย 40 ภาพ และของ

ผู้ป่วยหญิง 24 ภาพ (ตารางที่ 1)

จากการศึกษาทั้ง 64 ภาพ พบคลองท้ายฟันกรรมล่างทั้งหมดจำนวน 8 ภาพ คิดเป็นร้อยละ 12.5 เป็นของผู้ป่วยหญิง 4 ภาพ จาก 24 ภาพ คิดเป็นร้อยละ 16.67 โดยเป็นด้านขวา 2 ภาพ และด้านซ้าย 2 ภาพ และเป็นของผู้ป่วยชาย 4 ภาพ จาก 40 ภาพ คิดเป็นร้อยละ 10 โดยเป็นด้านขวา 2 ภาพ ด้านซ้าย 2 ภาพ (ตารางที่ 2) เมื่อนำมาวิเคราะห์ ความสัมพันธ์ของความซูกในผู้ป่วยที่พบคลองท้ายฟันกรรมล่างในแต่ละเพศ และในแต่ละข้างของขากรรไกร โดยใช้การทดสอบของพิชเชอร์ ที่ระดับนัยสำคัญ 0.05 พบร่วมความซูกในผู้ป่วยที่พบคลองท้ายฟันกรรมล่างไม่มีความแตกต่างอย่างมีนัยสำคัญระหว่างเพศชายและเพศหญิง และความซูกในผู้ป่วยที่พบคลองท้ายฟันกรรมล่างไม่มีความแตกต่างอย่างมีนัยสำคัญระหว่างขากรรไกรข้างซ้ายและขวา

ตารางที่ 1 จำนวนภาพรังสีโคนบีมซีทีของกลุ่มตัวอย่างโดยจำแนกตามเพศและตำแหน่ง

Table 1 Number of CBCT images of samples per gender and sites (n=64)

Gender	Number of images classified by side of mandible		
	Right	Left	Total
Male	22	18	40
Female	12	12	24
Total	34	30	64

ตารางที่ 2 ความซูกในผู้ป่วยที่ถ่ายภาพรังสีโคนบีมซีทีที่ศูนย์ภาพถ่ายรังสีแห่งหนึ่งใน กทม. ที่พบคลองท้ายฟันกรรมล่าง

Table 2 Prevalence of patients with retromolar canals detected by CBCT in a radiographic center in Bangkok

Gender	Number of images classified by side of mandible (%)		
	Right	Left	Total
Male	2(9.09)	2(11.11)	4(10)
Female	2(16.67)	2(16.67)	4(16.67)
Total	4(11.76)	4(13.33)	8(12.5)

เมื่อทำการวัดระยะห่างระหว่างรูเปิดคลองท้ายฟันกรามล่างกับคลองขากรรไกรล่าง แผ่นกระดูกด้านแก้ม และแผ่นกระดูกด้านลิน พบร่วมค่าเฉลี่ยเท่ากับ 12.07, 7.04 และ 5.14 มิลลิเมตร ตามลำดับ (ตารางที่ 3) จากภาพที่พบคลองท้ายฟันกรามล่างจำนวน 8 ภาพ พบร่วมค่าเฉลี่ยที่สุดท้ายได้แก่ ฟันกรามน้อยซีที่สอง จำนวน 3 ภาพ ฟันกรามซีที่สอง จำนวน 3 ภาพ ฟันกรามซีที่สาม จำนวน 2 ภาพ นอกจากนี้ระยะห่างระหว่างรูเปิดคลองท้ายฟันกรามล่างกับด้านใกล้กลางของฟันซีสุดท้ายที่พบในภาพรังสี คือ ฟันกรามน้อยซีที่สอง ฟันกรามซีที่สอง และฟันกรามซีที่สาม มีค่าเฉลี่ยเท่ากับ 34.58, 15.67 และ 8.42 มิลลิเมตร ตามลำดับ (ตารางที่ 4) ซึ่งเมื่อใช้ค่า

ความกว้างในแนวใกล้กลาง-ไกลกลางของฟันกรามน้อยเท่ากับ 7 มิลลิเมตร และฟันกรามเท่ากับ 10 มิลลิเมตร แทนฟันที่หายไปแล้ว พบร่วมค่าระยะห่างระหว่างรูเปิดคลองท้ายฟันกรามล่างกับด้านใกล้กลางของฟันกรามซีที่สอง มีค่าเฉลี่ยเท่ากับ 15.90 มิลลิเมตร

นอกจากนี้ ผู้เขียนได้พยายามจัดรูปแบบลักษณะคลองท้ายฟันกรามล่างจากการสังเกตเส้นทางเดินของคลองท้ายฟันกรามล่างจากภาพรังสี โดยเมื่อตั้งระนาบการสอบพื้นฐานฟัน สามารถจำแนกรูปแบบคลองท้ายฟันกรามล่างที่พบได้ 3 รูปแบบ ดังนี้

**ตารางที่ 3** ระยะห่างจากรูเปิดคลองท้ายฟันกรามล่างถึงคลองขากรรไกรล่าง แผ่นกระดูกด้านแก้ม และแผ่นกระดูกด้านลิน

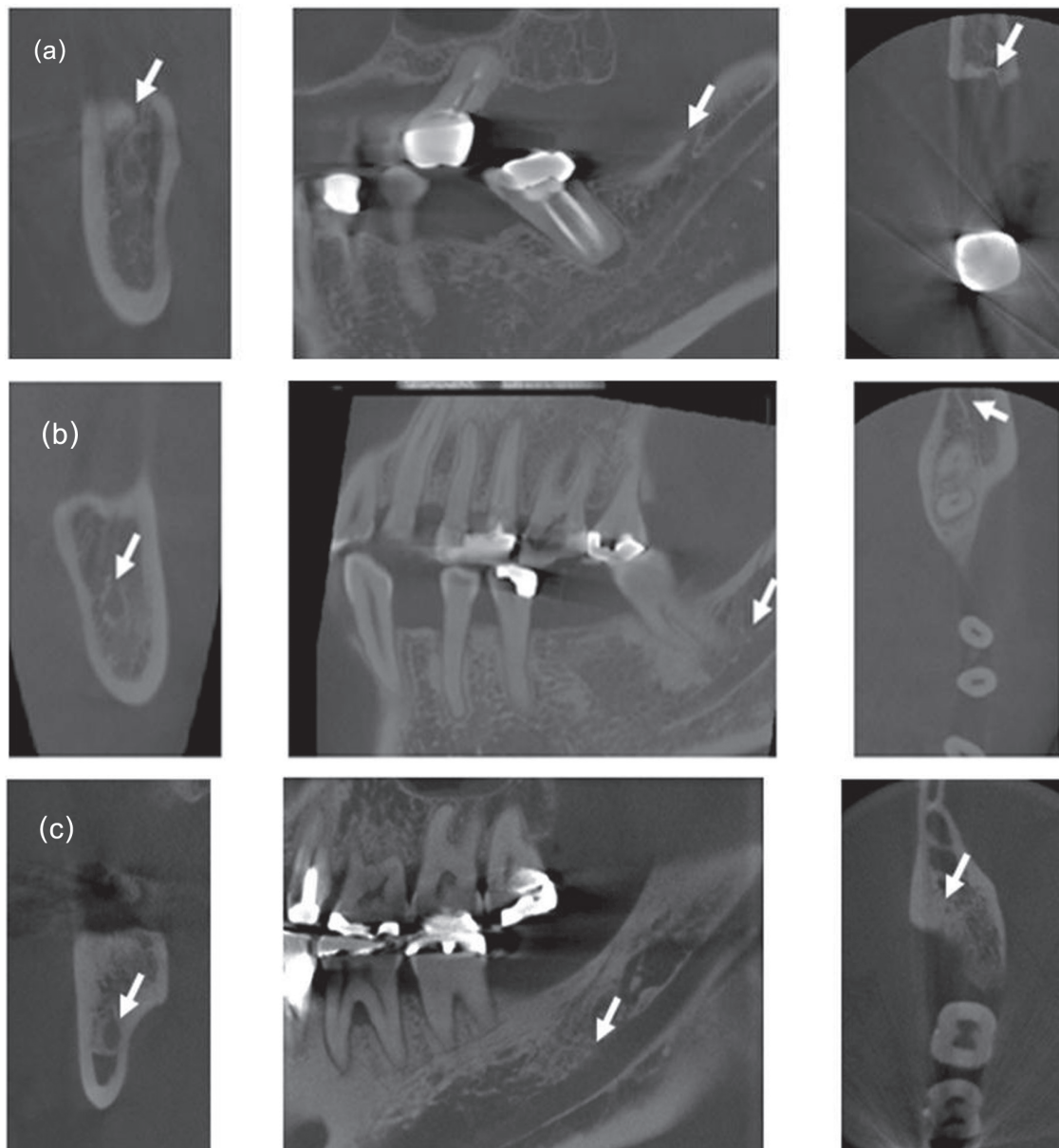
**Table 3** Distances from retromolar foramen to mandibular canal, buccal bone plate and lingual bone plate (mm)

Distance from retromolar foramen to	Mean (mm)	SD	Minimum (mm)	Maximum (mm)
Mandibular canal	12.07	2.72	7.56	16.50
Buccal bone plate	7.04	1.74	5.06	9.44
Lingual bone plate	5.14	2.52	3.16	11.16

**ตารางที่ 4** ระยะห่างจากรูเปิดคลองท้ายฟันกรามล่างถึงด้านใกล้กลางของฟันกรามน้อยซีที่สอง ฟันกรามซีที่สอง และฟันกรามซีที่สาม

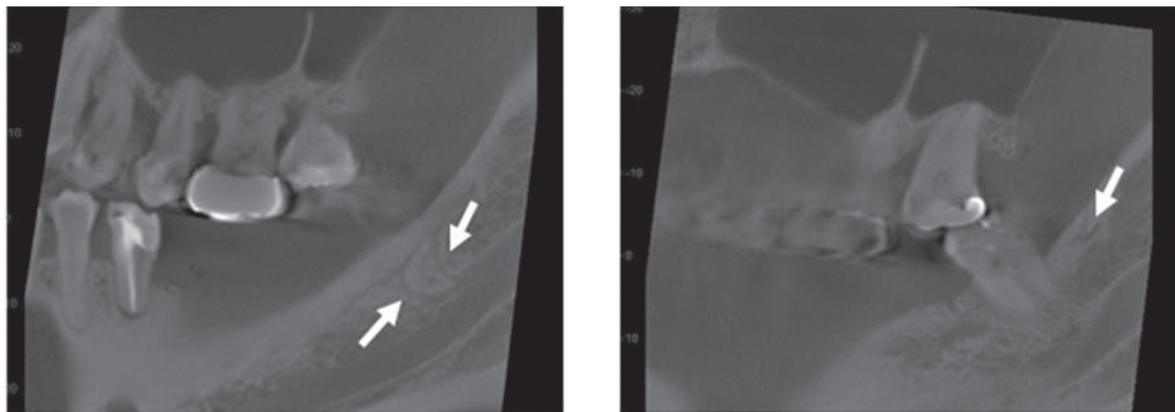
**Table 4** Distances from retromolar foramen to the distal surface of second premolar, second molar and third molar (mm)

Distance from retromolar foramen to	Mean (mm)	SD	Minimum (mm)	Maximum (mm)
Second premolar	34.58	1.69	32.95	36.32
Second molar	15.67	3.65	11.58	18.99
Third molar	8.42	1.33	7.48	9.36



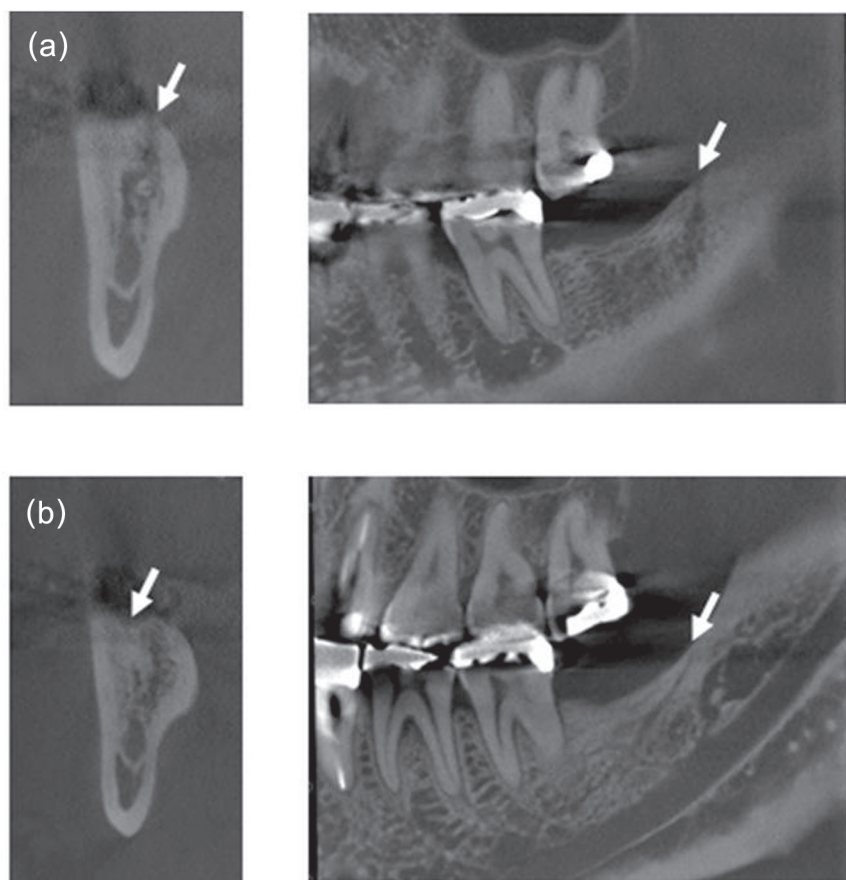
ຮູບທີ 4 ແສດງຮູບແບບຄລອງທ້າຍພັນການລ່າງ (ລູກຄວ) ທີ່ພບຈາກກາຣຕຶກຂານີ້ (a) ຮູບແບບທີ່ 1 (b) ຮູບແບບທີ່ 2 ແລະ (c) ຮູບແບບທີ່ 3

**Fig. 4** Types of the retromolar canals (arrows) found in this study: (a) Type 1, (b) Type 2, and (c) Type 3



**รูปที่ 5** แสดงตัวอย่างภาพรังสีコンบีมซีที่มีคลองท้ายฟันกรรมล่างจำนวน 2 คลอง (ลูกศร) แต่มีการเชื่อมกันก่อนที่จะเปิดดูบริเวณท้ายฟันกรรมล่าง

**Fig. 5** Representative CBCT images showed the fusion of 2 retromolar canals (arrows) before opening to the retromolar area



**รูปที่ 6** แสดงตัวอย่างภาพรังสีคอนบีมซีที่มีคลองท้ายฟันกรรมล่าง 2 รูปแบบ (ลูกศร) (a) รูปแบบที่ 1 และ (b) รูปแบบที่ 3

**Fig. 6** Representative CBCT images showed 2 types of the retromolar canals (arrows): (a) Type 1 and (b) Type 3

**รูปแบบที่ 1** กรณีที่สามารถมองเห็นหรือไม่สามารถมองเห็นรูปเปิดคลองท้ายพั้นกรรมล่างอย่างชัดเจนในภาพตัดแบ่งชั้ยขวาได้ เมื่อพิจารณาที่ภาพตัดขวางพบว่าคลองท้ายพั้นกรรมล่างแตกแขนงออกจากคลองขากรรไกรล่างแล้วทอดตัวเบนทิศทางไปทางด้านลินก่อนจะเปิดเป็นเส้นตรงสู่รูปเปิดคลองท้ายพั้นกรรมล่าง (รูปที่ 4a)

**รูปแบบที่ 2** กรณีที่สามารถมองเห็นหรือไม่สามารถมองเห็นรูปเปิดคลองท้ายพั้นกรรมล่างอย่างชัดเจนในภาพตัดแบ่งชั้ยขวาได้ เมื่อพิจารณาที่ภาพตัดขวางพบว่าแนวของคลองท้ายพั้นกรรมล่างมีการหักด้วยตัวเป็นลักษณะตรงตามระนาบของเส้นที่ลากเข้ามาระหว่างรูปเปิดคลองท้ายพั้นกรรมล่างและจุดแยกออกของคลองท้ายพั้นกรรมล่างกับคลองขากรรไกรล่าง (รูปที่ 4b)

**รูปแบบที่ 3** เมื่อมองในภาพตัดแบ่งชั้ยขวาพบว่าคลองท้ายพั้นกรรมล่างแตกแขนงออกจากคลองขากรรไกรล่างแล้วหักด้วยตัวเองไปทางด้านหน้า ก่อนจะเปิดออกสู่รูปเปิดคลองท้ายพั้นกรรมล่าง แต่เมื่อพิจารณาที่ภาพตัดขวางสามารถมองเห็นหรือไม่สามารถมองเห็นรูปเปิดคลองท้ายพั้นกรรมล่างอย่างชัดเจนในภาพเดียวกับจุดแยกออกของคลองท้ายพั้นกรรมล่างจากคลองขากรรไกรล่างได้ (รูปที่ 4c)

จากการศึกษาสามารถจำแนกรูปแบบของคลองท้ายพั้นกรรมล่างได้ 3 รูปแบบ แต่อย่างไรก็ตามพบว่ามี 2 ภาพที่มีคลองท้ายพั้นกรรมล่างถึง 2 คลอง แต่มีการเชื่อมกันก่อนที่จะเปิดสู่บริเวณท้ายพั้นกรรมล่างจำนวน 1 ภาพ (รูปที่ 5) และภาพที่มีคลองท้ายพั้นกรรมล่าง 2 รูปแบบ จำนวน 1 ภาพ (รูปที่ 6 a, b)

### วิจารณ์

จากการศึกษาคลองท้ายพั้นกรรมล่างที่ผ่านมา มักเป็นการศึกษาจากกระหลากระซิษแห้ง<sup>4-7,9</sup> หรือ ภาพเอ็มอาร์<sup>8</sup> อย่างไรก็ตามด้วยจากกระหลากระซิษแห้งหรือศพหาดค่อนข้างยาก อีกทั้งยังประยุกต์ใช้ได้ยากในทางคลินิกถึงการระดับระดับในการทำหัตถการบริเวณท้ายพั้นกรรมล่างเพื่อหลีกเลี่ยงอันตรายที่จะเกิดกับเส้นเลือดและเส้นประสาทในคลองท้ายพั้นกรรมล่าง<sup>13,14</sup> นอกจากนี้ยังไม่พบว่ามีการศึกษาคลองท้ายพั้นกรรมล่างจากภาพรังสีคอมพิวเตอร์ที่เป็นที่แพร่หลายดังนั้นผู้วิจัยจึงได้เลือกใช้ภาพรังสีคอมพิวเตอร์ ซึ่งเป็นภาพรังสีทางทันตกรรมที่เน้นถึงการวินิจฉัยของเนื้อเยื่อแข็งโดยเฉพาะกระดูกและฟัน โดยผู้ป่วยจะได้รับปริมาณรังสีที่น้อยกว่า

การถ่ายภาพรังสีส่วนตัดอาศัยคอมพิวเตอร์ (computed tomography) ที่ยังมีเรื่องของเนื้อเยื่ออ่อนมากบดบังความชัดเจน ดังนั้นภาพรังสีคอมพิวเตอร์จึงมีแนวโน้มที่จะยืนยันถึงการมีคลองท้ายพั้นกรรมล่างได้มากกว่า อย่างไรก็ตามการถ่ายภาพรังสีประเทกนียังมีการใช้งานไม่มาก ทำให้ข้อมูลที่ได้อ่านได้ไม่นานกัน ซึ่งจากการศึกษาความชุกในผู้ป่วยที่ถ่ายภาพรังสีที่ศูนย์ภาพถ่ายรังสีแห่งหนึ่งใน กทม. ที่พบคลองท้ายพั้นกรรมล่างจากภาพรังสีคอมพิวเตอร์ที่ พบคลองท้ายพั้นกรรมล่างทั้งหมดจำนวน 8 ภาพ จากจำนวน 64 ภาพ คิดเป็นร้อยละ 12.5 ใกล้เคียงกับการศึกษาของ Suazo และคณะ<sup>6</sup> ซึ่งพบร้อยละ 12.9 ในชาวบรasil ในขณะที่การศึกษาของ Kodera และ Hashimoto<sup>3</sup> ในชาวญี่ปุ่น พบร้อยละ 19.5 การศึกษาของ Senthil-Kumar และ Kasavi<sup>7</sup> ในชาวอินเดีย พบร้อยละ 17.3 และการศึกษาของ Narayana และคณะ<sup>11</sup> ในชาวอินเดีย พบร้อยละ 21.9 ซึ่งเป็นชาวเอเชีย มีผลที่แตกต่างกันเล็กน้อย ซึ่งความชุกในการพบคลองท้ายพั้นกรรมล่างที่มีความแตกต่างกัน อาจขึ้นกับการออกแบบ การศึกษาที่กำหนดขนาดเส้นผ่าศูนย์กลางของคลองท้ายพั้นกรรมล่างที่แตกต่างกัน<sup>9,11</sup> ในการศึกษาครั้งนี้กำหนดขนาดเส้นผ่าศูนย์กลางของรูปเปิดคลองท้ายพั้นกรรมล่างต้องมีขนาดอย่างน้อย 0.5 มิลลิเมตร โดยอ้างอิงจากการศึกษาที่ผ่านมา<sup>10</sup> ในการศึกษาของ Patil และคณะ<sup>15</sup> ซึ่งทำการศึกษาจากภาพรังสีคอมพิวเตอร์ที่ พบว่าความชุกในการพบคลองท้ายพั้นกรรมล่างสูงถึงร้อยละ 65.3 อาจเนื่องมาจากเกณฑ์การคัดเลือกภาพรังสีเพื่อศึกษาที่ต่างกันและ ความแตกต่างของเครื่องถ่ายภาพรังสีคอมพิวเตอร์ที่มีความละเอียดแตกต่างกัน

การศึกษาครั้งนี้น่าจะสามารถบ่งบอกได้ถึงรูปแบบของคลองท้ายพั้นกรรมล่างที่พบ โดยจำแนกออกมาเป็น 3 รูปแบบ คือทั้งยังทำการศึกษาระยะห่างระหว่างรูปเปิดคลองท้ายพั้นกรรมล่างกับพั้นกรรมล่างซึ่งสุดท้ายที่พบในขากรรไกรโดยกำหนดตำแหน่งวัดที่แน่นอน ในขณะที่การศึกษาที่ผ่านมายังไม่ได้ระบุตำแหน่งวัดแน่นชัด ซึ่งอาจนำไปสู่ความคลาดเคลื่อนในการวัดได้ โดยการวัดค่าระยะห่างระหว่างรูปเปิดคลองท้ายพั้นกรรมล่างกับพั้นซึ่งต่าง ๆ รวมทั้งการวัดระยะห่างของรูปเปิดคลองท้ายพั้นกรรมล่างกับกระดูกด้านแก้ม และกระดูกด้านลิน มีความสำคัญเพื่อป้องกันการเกิดภัยนตรายต่อคลองท้ายพั้นกรรมล่างในการทำหัตถการ เช่น การปลูกกระดูกจากบริเวณขากรรไกรล่างส่วนท้ายพั้นกรรม การฟังรากฟันเทียม และการผ่าพื้นคุด เป็นต้น นอกจากนี้ยังมี

ประโยชน์เพื่อให้เกิดความแม่นยำในการวินิจฉัยสาเหตุประสาท慢นีดิบวาร์ ยิ่งไปกว่านั้นในการศึกษาครั้งนี้ใช้ภาพรังสีโคนบีมซีที่ซึ่งมีความคมชัดในบริเวณใบหน้าและกระดูกขากรรไกรผู้ป่วยไม่ต้องรับรังสีมากและสามารถใช้ข้อมูลที่มีอยู่มาศึกษาได้ทำให้มีข้อดีกว่าการศึกษาจากกระโหลกศีรษะแห่งหรือศพ

จากการศึกษาพบรูปเปิดคลองท้ายฟันรามล่างในเพศหญิงมากกว่าเพศชายแต่ไม่พบความแตกต่างอย่างมีนัยสำคัญทางสถิติ ซึ่งสอดคล้องกับ Suazo และคณะ<sup>6</sup> ในขณะที่ Senthil-Kumar และ Kasavi<sup>7</sup> รายงานว่าในเพศหญิงพบรูปเปิดคลองท้ายฟันรามล่างมากกว่าเพศชายอย่างมีนัยสำคัญทางสถิติโดยเพศหญิงคิดเป็นร้อยละ 10.6 ส่วนเพศชายคิดเป็นร้อยละ 6.6 อย่างไรก็ตามการศึกษาครั้งนี้ไม่สามารถหาความสัมพันธ์ระหว่างความซุกในผู้ป่วยที่พบรูปเปิดคลองท้ายฟันรามล่างกับอายุผู้ป่วยได้ เนื่องจากการณ์ศึกษามีจำนวนจำกัด

แม้ว่าผลการศึกษาในครั้งนี้พบความซุกในผู้ป่วยที่พบรูปเปิดคลองท้ายฟันรามล่างค่อนข้างต่ำ แต่อย่างไรก็ตามทันตแพทย์ควรจะตระหนักระมัดระวังขณะทำการผ่าตัดหรือทำการหัตถกรรมต่างๆ บริเวณท้ายฟันรามล่าง เช่น การปลูกกระดูกจากบริเวณท้ายฟันรามล่างเพื่อการฟื้นฟูฟันเทียม การผ่าฟันคุด หรือการผ่าตัดขากรรไกร เพื่อหลีกเลี่ยงการทำให้เกิดภัยันตรายต่อเส้นประสาทและเส้นเลือดท้ายฟันรามล่าง ซึ่งอาจมีผลทำให้เกิดความเจ็บปวด การชาและบั้งอาจทำให้เกิดเลือดออกมากผิดปกติ อันจะทำให้ผู้ป่วยมีคุณภาพชีวิตในมิติสุขภาพที่ลดลง

## สรุป

จากการศึกษาความซุกในผู้ป่วยที่ถ่ายภาพรังสีคุณภาพถ่ายรังสีแห่งหนึ่งใน กทม. ที่พบคลองท้ายฟันรามล่างจากภาพรังสีโคนบีมซีที่คิดเป็นร้อยละ 12.5 โดยความสัมพันธ์ของความซุกในผู้ป่วยกลุ่มนี้ที่พบคลองท้ายฟันรามล่างในแต่ละข้างของขากรรไกรและในแต่ละเพศไม่มีความแตกต่างกันอย่างมีนัยสำคัญ

## กิตติกรรมประกาศ

ขอขอบพระคุณเงินทุนอุดหนุนการวิจัยโครงการวิจัยทางทันตกรรม 3205-312 # 26/2554 คณะทันตแพทยศาสตร์ จุฬาลงกรณ์มหาวิทยาลัย และศูนย์ภาพถ่ายรังสีเอกชน ที่เอื้อเพื่อข้อมูลภาพรังสีคอมพิวเตอร์ชนิดโคนบีมในการทำวิจัยครั้งนี้

## เอกสารอ้างอิง

- Brener D. The mandibular ramus donor site. Aust Dent J. 2006;51:187-90.
- Bays RA, Bouloux GF. Complications of orthognathic surgery. Oral Maxillofac Surg Clin North Am. 2003;15:229-42.
- Kodera H, Hashimoto I. A case of mandibular retromolar canal: elements of nerves and arteries in this canal. Kaibogaku Zasshi. 1995;70:23-30.
- Azaz B, Lustmann J. Anatomical configurations in dry mandible. Br J Oral Surg. 1973;11:1-9.
- Bilecenoglu B, Tuncer N. Clinical and anatomical study of retromolar foramen and canal. J Oral Maxillofac Surg. 2006;64:1493-7.
- Suazo GI, Zavando MD, Cantín LM. Retromolar canal and foramen prevalence in dried mandibles and clinical implications. Int J Odontostomat. 2008;2:183-7.
- Senthil-Kumar S, Kesavi D. A study on the incidence of retromolar foramen and canal in Indian dried human mandibles and its clinical significance. Int J Anat Sci. 2010;1:14-6.
- Ikeda K, Ho KC, Nowicki BH, Haughton VM. Multiplanar MR and anatomic study of mandibular canal. AJNR Am J Neuroradiol. 1996;17:579-84.
- Schejman R, Devoto FC, Arias NH. The origin and distribution of the elements of the human mandibular retromolar canal. Arch Oral Biol. 1967;12:1261-8.

10. Von Arx T, Hänni A, Sendi P, Buser D, Bornstein MM. Radiographic study of the mandibular retromolar canal: an anatomic structure with clinical importance. *J Endod.* 2011;37:1630-5.
11. Narayana K, Nayak UA, Ahmed WN, Bhat JG, Devaiah BA. The retromolar foramen and canal in south Indian dry mandibles. *Eur J Anat.* 2002;6:141-6.
12. Cremonini CC, Dumas M, Pannuti C, Lima LA, Cavalcanti MG. Assessment of the availability of bone volume for grafting in the donor retromolar region using computed tomography: a pilot study. *Int J Oral Maxillofac Implants.* 2010;25:374-8.
13. Reyneke JP, Tsakiris P, Becker P. Age as a factor in the complication rate after removal of unerupted/ impacted third molars at the time of mandibular sagittal split osteotomy. *J Oral Maxillofac Surg.* 2002;60:654-9.
14. Boronat LA, Peñarrocha DM. Failure of locoregional anesthesia in dental practice. Review of literature. *Med Oral Patol Oral Cir Bucal.* 2006;11:E510-3.
15. Patil S, Matsuda Y, Nakajima K, Araki K, Okano T. Retromolar canals as observed on CBCT: their incidence, course, and characteristics. *Oral Surg Oral Med Oral Pathol Oral Radiol.* 2013;115:692-699.

# Prevalence and location of retromolar canal in cone beam computed tomographs of Thai patients in a private radiographic center in Bangkok

Atiphan Pimkhaokham D.D.S., Ph.D., Diplomate, Thai Board of Oral and Maxillofacial Surgery<sup>1</sup>

Keskanya Subbalekha D.D.S., Ph.D., Diplomate, Thai Board of Oral and Maxillofacial Surgery<sup>1</sup>

Natthaporn Pravitharangkul<sup>2</sup>

Siripim Sawetchaikul<sup>2</sup>

<sup>1</sup>Department of Oral and Maxillofacial surgery, Faculty of Dentistry, Chulalongkorn University

<sup>2</sup>Faculty of Dentistry, Chulalongkorn University

## Abstract

The objective of this study was to investigate the prevalence and location of retromolar canal in Thai patients in a private radiographic center in Bangkok using the cone beam computed tomograph (CBCT) images which including the retromolar region. The images were collected from 2010–2011. The retromolar canal was investigated using the One Volume Viewer software. The distances between retromolar foramen and mandibular canal, buccal bone plate, lingual bone plate and the distal surface of the second molar were measured and the averages were calculated. The relationships between the prevalence of retromolar canal and gender and sides were analyzed by Fisher's exact test. Sixty-four images were provided the detail of retromolar region. The retromolar canal was found in 8 images (12.5%). The average distances between retromolar foramen and mandibular canal, buccal bone plate, and lingual bone plate were 12.07, 7.04 and 5.14 mm, respectively. In addition, the average distances between retromolar foramen and the distal surface of the second molar was 15.90 mm. There was no significant difference between the prevalence of retromolar canal and both gender and side of mandible ( $p > 0.05$ ). In conclusion, although the prevalence of patients with retromolar canals detected by CBCT in a radiographic center in Bangkok is quite low, it is necessary to be aware of this variation when performing surgery.

(CU Dent J. 2015;38:105–116)

**Key words:** *mandibular canal; retromolar canal; retromolar foramen*

**Correspondence** to Atiphan Pimkhaokham, atiphan.p@chula.ac.th